

(69) 有効応答スペクトル・等価加速度による地震荷重評価について

——特に地動継続時間の影響——

京大工学部 亀田弘行 京大大学院○木村淳二

1. はじめに

わが国の土木構造物の静的耐震設計で用いられる設計震度は、強震記録および過去の震害経験などを判断資料として定められており、その値は実際に観測される最大加速度よりも小さいのが普通である。こうした両者の差異は、塑性領域での構造物の变形性能からの説明のみでは済し切れないものであり、これに加えて、応答の過渡特性と反復される応答パルス下での構造部材の進行的破壊を取り入れて考慮を行うことが重要である。そこでは地動の継続時間の影響が大きく、この点の合理的評価を行うことにより動的な強震記録を静的な地震荷重に変換する方法を見出せると考えられる。

設計震度の決定に難渋せ来る地動特性としては、強度・振動数特性・継続時間の3要素があげられる。これらのうち、強度と振動数特性についてはすでに種々の形で耐震規定にとり入れられており、継続時間の影響については定量的・容認的な評価法が確立されておらず、これより、これまで蓄積されてきた貴重な強震記録の情報が十分に生かされていないうらみがある。

このような観点から筆者らは、地動特性の上記3要素を的確に考慮しながら動的な強震加速度記録を等価な静的地震荷重に変換する方法を提案し、その結果得られる地盤レベルでの静的加速度値を「等価加速度」(EQ A: Equivalent Ground Acceleration)と呼んだ。本研究は等価加速度から、さらに実際の地震荷重に近づけた概念として「有効応答スペクトル」を議論の中心に据えることを提唱したものである。また、文献1ではハイリニア系のみを扱ったが、その後剛性化型トリリニア系の解析をも行ったので、あわせて報告する。

2. 有効応答スペクトル (ERS: Effective Response Factor)

(1) 基本的定式化

地震時の構造物の逐次破壊は構造物の応答について次のようないくつかの側面に支配されると考えられる。a)最大応答がいくらまで成長するか、b)最大応答に近い応答振幅が何程度くり返されるか。地動の継続時間は、これら2つの項目のいずれにも相当の影響を及ぼす。こうした問題点が明確な形で表現されるよう問題の整理と定式化を行った。

地動加速度 $X(t)$ が与えられた場合に、 $X(t)$ に抵抗するべき構造物の応答を静的荷重として表現したものと「有効応答スペクトル」と呼ぶことにし、これを次式で表す。

$$S_e = \gamma_a S_p \quad (1)$$

ただし、 S_e は加速度の単位で表現される有効応答スペクトル(一般に非弾性)、 γ_a は応答スペクトルを有効応答スペクトルに変換する「有効応答係数」である。式(1)では最大応答を与える S_p に加えて、応答の持続性の影響を表現するための γ_a を組合せることにより、地動の破壊力を表現している。

(2) 有効応答係数 (ERF: Effective Response Factor)

構造物および構造部材の進行性破壊における抵抗性状と応答のくり返しの関連より、静的な地震荷重が最大応答加速度からどれ程低減できるかを表したのが有効応答係数 γ_a である。構造物の耐震性能や、許容塑性率 μ と变形サルのものとの応答の許容くり返し数 n_e が与えられる場合、逆サイクル疲労とのアナロジーより有効応答係数 γ_a は次式のように定式化される。

$$\gamma_a(T_a, \mu, n_e) = \int_{T_a}^{T_e} \left\{ \sum_{i=1}^n X_i^2(T_0) / n_e \right\}^{1/2} dT_0 / \int_{T_a}^{T_e} X_1(T_0) dT_0 \quad (2)$$

ただし、 X_1, X_2, \dots, X_{n_e} は塑性率 μ のもとでの最大値より1番目、2番目、...、 n_e 番目の応答パルスの振幅で

ある。 η は構造物特性から決定される定数、 T_d は構造物の固有周期である。 T_d は Vanmarcke, Lai²⁾ の定義による地震動継続時間($T_d = 7.5 \int X^2(t) dt / A_p^2$)である。ただし、 A_p は地震最大加速度を表す。

有効応答係数 η_e の計算例を図1に示す。図から継続時間が短いほど、有効応答係数が小さくなる傾向がみられる。すなわ

ち継続時間が短くすると、最大応答振幅と較べて2番目以下の応答振幅が小さくなり、地震動の破壊力も相対的に小さいとみなすことができ、静的な地震荷重も小さな値としてよいこととなる。

以上のように定式化された有効応答スペクトルの計算結果を以下に示すが、継続時間が有効応答スペクトルに与える影響を明確に示すため地盤条件・地震最大加速度がほぼ同じで、継続時間が14.6 sec (Kushiro), 1.1 sec (Kashima) と異なる2つの地震動の比較を中心に紹介する。図2の破線で示されているのが実記録から算出された有効応答スペクトルであり、 $\eta_e = 1$ の場合は $\eta_e = 1$ となり、加速度応答スペクトルと一致する。a) はバイリニア系の有効応答スペクトルであり、b) は剛性劣化型トリニア系のものである。図2に示されるように、応答の許容くり返し数 η_e が大きくなると(2)式に示されるように有効応答係数 η_e の算出たがいで X_0 に小さな応答振幅をも含み、 η_e の値は減少する。その結果有効応答スペクトル S_e は小さな値となる。また同一の η_e に対しても上述したように、継続時間の短い Kashima の方や、継続時間の長い Kushiro よりも η_e は小さな値とな

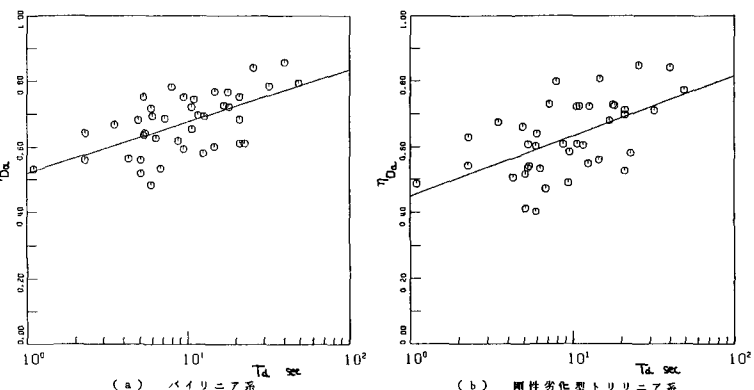
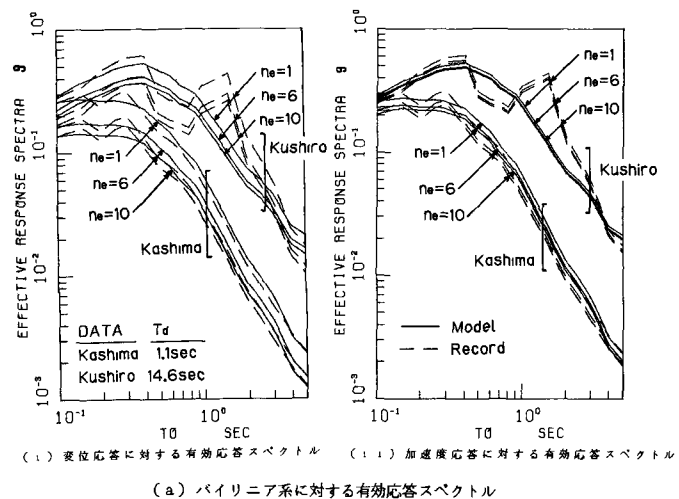
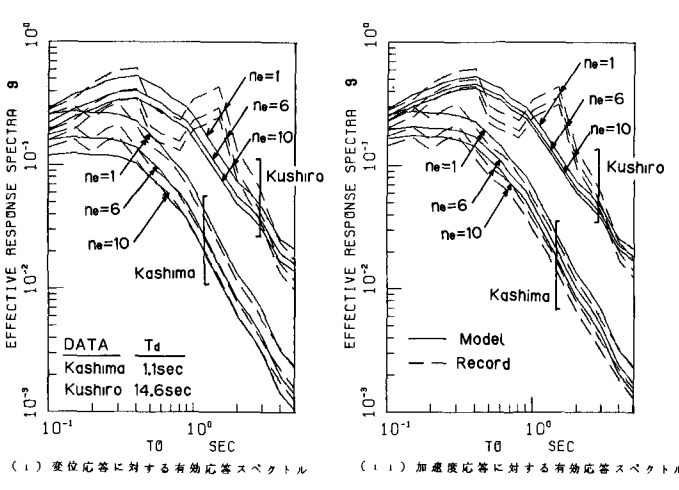


図1 有効応答係数 η_e の計算例 ($\mu = 3$, $n = 10$, $q = 1$; 变位応答より算出)



(a) バイリニア系に対する有効応答スペクトル



(b) 剛性劣化型トリニア系に対する有効応答スペクトル

図2 有効応答スペクトルの計算例 ($\mu = 3$, $h = 0.05$)

るため、 η_e を大きくすることによる有効応答スペクトル S_e の減少の割合が大きくなる結果となる。

3. 最大応答に対する継続時間の影響 (最大応答係数: η_e)

応答スペクトル S_p は、構造物と地震動の諸特性を反映する諸量の積として次式の形で表すことができる。

$$S_p = \xi^{(s)}(T_0, h, \mu) Y(T_0, T_d) A_p \quad (3)$$

ただし、 $\xi^{(s)}$ は標準応答倍率である。Y は「最大応答係数」で次式で定義される。

$$Y(T_0, T_d) = S_p / (\xi^{(s)} A_p) \quad (4)$$

また上式において、 T_0 は固有周期、 h は減衰定数、 μ は最大応答塑性率である。

最大応答係数 $Y(T_0, T_d)$ は、最大応答に対する地震動継続時間の影響を表すものであり、この問題は異なる地震動の間での相対比較の議論となるから、ある標準的な地震動に対する応答倍率を標準応答倍率 $\xi^{(s)}(T_0, h, \mu)$ として導入し、それとの比較で特定の地震動の特性を表現するのが便利である。最大応答係数 Y はこうした目的で定義されたものである。図 3 に上記 2 の地震動の最大応答係数の例を示した。

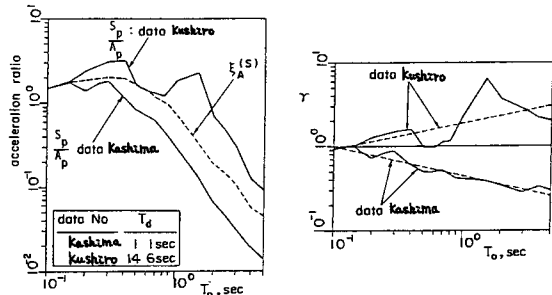


図 3 応答倍率と最大応答係数の例

4. 等価加速度 (EQA: Equivalent Ground Acceleration)

式 1, 3) より、次のような加速度を定義して、これを「等価加速度」と呼ぶ。

$$A_e = Y(T_0, T_d) \xi^{(s)}(T_d, \mu, n_e) A_p = S_e / \xi^{(s)} \quad (5)$$

A_e に標準応答倍率 $\xi^{(s)}$ を掛け合わせると有効応答スペクトルと一致するから、 A_e は入力地震動のうち、構造物に作用する有効な加速度レベルを表すと考えられる。この等価加速度の概念を用いて、震度法および修正震度法により規定されている現行耐震基準の設計地盤荷重の意味と問題点を定量的に検討することとする。さらに

$$C_e = Y(T_0, T_d) \xi^{(s)}(T_d, \mu, n_e) \quad (6)$$

で定義される C_e は地動最大加速度 A_p を等価加速度 A_e に変換する変換係数であり、これを「等価加速度係数」と呼ぶ。

5. 有効応答スペクトルの推定モデル

有効応答スペクトルを簡便に推定するためのモデルを開発したので、以下にその概要を示す。有効応答スペクトルの推定値 \hat{h}_a を次式の形で示す。

$$\hat{h}_a = \xi^{(s)} \hat{Y} \hat{\xi} A_p \quad (7)$$

ただし、 \hat{Y} , $\hat{\xi}$ は各々最大応答係数 Y および有効応答係数 $\xi^{(s)}$ の推定値である。

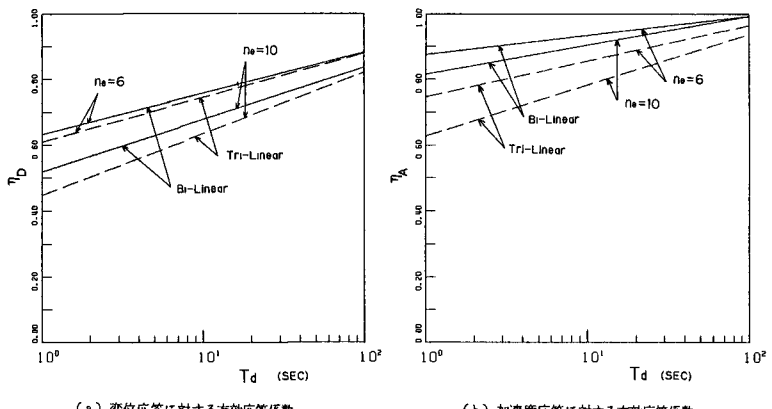


図 4 有効応答係数の回帰直線

有効応答係数 \hat{h}_a と $\log T_d$ をアロットすると図 1 に示したような相関がみられ、回帰分析により次式の形で示される。

$$\hat{h}_a = \begin{cases} a_1 + b_1 \log T_d & , 0 < T_d \leq T_c \\ 1 & , T_d > T_c \end{cases} \quad (8)$$

$$\text{ただし, } T_c = 10^{(1-a_1)/b_1}$$

$\mu = 3$, $h = 0.05$, $\hat{Y} = 1$ に対して回帰分析を行った結果を図 4 に示す。(a), (b) は各々変位応答に基づく有

効応答係数の回帰直線、加速度応答に基づくものであり、実線はパリニア系に対する結果、破線は剛性齐化型パリニア系に対する結果である。

最大応答係数 γ については、図3が示すように固有周期 T_d が 0.1 ~ 5.0 sec の間では $\log \gamma$ と $\log T_d$ の間に線形関係があると考えられる。また $T_d \leq 0.1$ sec のときは $\gamma = 1$ と考えられる。よって $\hat{\gamma}$ は次式で示される。

$$\hat{\gamma} = (10 T_d)^{0.4} \quad , \quad 0.1 \leq T_d \leq 5.0 \text{ sec} \quad (9)$$

また、 α_r と次式で定式化される平均最大応答係数 $\bar{\gamma}_a$ の対数は非常によい相関がみられる。

$$\bar{\gamma}_a = \int_{T_d}^{\infty} \xi(T_d) dT_d / \int_{T_d}^{\infty} \xi^{(S)}(T_d) dT_d \quad (10)$$

そこで、 $\bar{\gamma}_a = 1$ に対しては $\hat{\alpha}_r \neq 0$ となる条件のもとで回帰分析を行うと次式となる。

$$\hat{\alpha}_r = 1.196 \log \bar{\gamma}_a \quad (11)$$

また、 $\log \bar{\gamma}_a$ と $\log T_d$ の間に最も相関がみられ回帰分析の結果 4 種の地盤において i) 岩盤地盤: $\hat{\alpha}_r = 0.811 T_d^{0.092}$, ii) 深積地盤: $\hat{\alpha}_r = 0.531 T_d^{0.902}$, iii) 沖積地盤: $\hat{\alpha}_r = 0.306 T_d^{0.877}$, iv) 軟弱地盤: $\hat{\alpha}_r = 0.313 T_d^{0.981}$ なる回帰式が得られた。

標準応答倍率 $\xi^{(S)}$ は 4 種の地盤について各々 10 成分ずつの強震記録による応答倍率を調和平均することによって求められ、各々の地盤条件において最も標準的な地震動による応答倍率と考えられる。結果を図5に示す。

先の Kushiro, Kashima の 2 つの地震動に対して以上の統計モデルを用いて有効応答スペクトルを推定した結果を図2に実線で示す。実記録から算出された有効応答スペクトルと比較すると、実記録から算出されたものは強震記録の観測点における地盤条件を反映するピークを含むに対し、統計モデルにおいては、上記の標準応答倍率 $\xi^{(S)}$ を用いているので、各地盤種別における応答の平均的傾向を把握され、固有周期による変動も認めらるが、各々の傾向は一致している。特に、Kushiro および Kashima に対する

長周期領域での差異は、モデルによる推定値では継続時間 T_d が最大応答係数 γ に及ぼす影響として評価されているものである。これより、地震継続時間や応答特性に与える影響が明確に認識される。

参考文献

- 1) Kameda, H and Kohno, K., "Effect of Ground Motion Duration on Seismic Load for Civil Engineering Structures - Development of Equivalent Ground Acceleration (EQA) -," April 1983.
- 2) Vanmarcke, E.H., and Lai, S.-S.P., "Strong Motion and RMS Amplitude of Earthquake Records," August 1980.
- 3) 道路橋示方書・同解説 地震設計編 昭和 55 年 5 月。